

В.М.ЗОЛОТАРЕВ, д-р техн. наук, ген. директор, ПАО «Завод Южкабель», Харьков;

В.П.КАРПУШЕНКО, канд. экон. наук, советник ген. директора, ПАО «Завод Южкабель», Харьков;

В.В.ЗОЛОТАРЕВ, канд. техн. наук, нач. отдела, ПАО «Завод Южкабель», Харьков;

Ю.А.АНТОНЕЦ, канд. техн. наук, техн. директор, ПАО «Завод Южкабель», Харьков;

А.А.НАУМЕНКО, канд. техн. наук, ведущий специалист, ПАО «Завод Южкабель», Харьков

ЗАВИСИМОСТЬ ТАНГЕНСА УГЛА ДИЭЛЕКТРИЧЕСКИХ ПОТЕРЬ ОТ КОНСТРУКЦИИ МНОГОСЛОЙНОЙ СШИТОЙ ИЗОЛЯЦИИ КАБЕЛЕЙ И ПРОВОДОВ

На основі математичної моделі стаціонарного електричного поля в багатошаровому неідеальному діелектрику досліджено залежність тангенса кута діелектричних втрат від конструкції багатошарової шитої (вулканізованої) ізоляції в силових кабелях і проводах.

On the basis of mathematical model of stationary electric field in multilayer non-ideal dielectric, the tangent of dielectric loss angle in multilayer crosslinked (vulcanized) structures of power cables and wires are investigated.

На основе математической модели стационарного электрического поля в многослойном неидеальном диэлектрике исследована зависимость тангенса угла диэлектрических потерь от конструкции многослойной сшитой (вулканизированной) изоляции в силовых кабелях и проводах.

Анализ источников. Изоляционная конструкция токопроводящей жилы с пластмассовой изоляцией может быть выполнена однослойной или многослойной, в зависимости от условий ее применения. Однослойная изоляция из сшиваемых композиций может быть выполнена на основе, например, полиолефинов и органосиланов [1, 2]. Двухслойная изоляция может применяться в различного рода огнестойких кабелях [3, 4]. Причем, первый слой (считая от проводника жилы) изготавливают обычно методом обмотки из слюдяной бумаги, а второй слой – из линейного или сшитого полиэтилена (например, силанольноносшитого, сшитого пероксидными соединениями в среде водяного пара или сухого сжатого азота), а также из поливинилхлоридного пластиката. Трехслойная изоляция, характерная для экранированных токопроводящих жил силовых кабелей энергетического назначения напряжением 6 кВ и выше, которые под медным экраном имеют экран по жиле из проводящего полиэтилена, собственно полиэтиленовый изоляционный слой и экран по изоляции из того же проводящего полиэтилена [5, 6]. Причем все три

слоя наносятся одновременно методом экструзии и одновременно вулканизируются в вулканизационной линии.

Наконец, четырехслойная изоляция может иметь место, когда на упомянутую трехслойную конструкцию методом обмотки наносят слой полупроводящего водонабухающего или не водонабухающего полотна [5, 6]. Сюда же следует отнести и случай изоляции высоковольтных защищенных проводов, которые могут иметь трехслойную пластмассовую конструкцию в виде экрана по жиле, собственно полиэтиленового изоляционного слоя и экрана по изоляции, а также четвертый изоляционный слой, которым является окружающий воздух при воздушной прокладке таких проводов [7].

Постановка задачи. Будем считать, что диэлектрик состоит из n кусочно-однородных областей $\Omega_1, \Omega_2, \dots, \Omega_i, \dots, \Omega_n$ ограниченных, соответственно, коаксиальными цилиндрами, имеющими радиусы $r_0 - r_1, r_1 - r_2, \dots, r_{i-1} - r_i, \dots, r_{n-1} - r_n$. Пусть в каждой области Ω_i однородный диэлектрик характеризуется относительной диэлектрической проницаемостью ε_i и удельной электропроводностью γ_i , а идеально проводящие электроды для возбуждения поля в диэлектрике имеют радиусы r_0 и r_n . Тангенс угла диэлектрических потерь для случая однослойной изоляции вычисляется по простой формуле

$$\dot{I} = \oint J(r_n) dl = \oint \dot{Y}_n \dot{E}_n dl_n = 2\pi r_n \dot{Y}_n \dot{E}(r_n), \quad (1)$$

где $\dot{E}(r_n)$, $J(r_n)$ – соответственно, нормальная компонента электрической напряженности на внутренней поверхности внешнего электрода, имеющего радиус r_n ;

dl – элемент длины линии, образующейся при сечении внешнего бесконечно тонкого электрода плоскостью, перпендикулярной оси выбранной цилиндрической системы координат;

\dot{Y}_n – полная проводимость слоя диэлектрика с номером n .

Для двухслойной изоляции он вычисляется по общей формуле [8].

$$\begin{aligned} \operatorname{tg} \delta &= \frac{(\gamma_1 \gamma_2 - \omega^2 \varepsilon_1 \varepsilon_2)(\gamma_1 \alpha_2 + \gamma_2 \alpha_1) + \omega^2 (\varepsilon_2 \gamma_1 + \varepsilon_1 \gamma_2)(\varepsilon_1 \alpha_2 + \varepsilon_2 \alpha_1)}{\omega [(\varepsilon_2 \gamma_1 + \varepsilon_1 \gamma_2)(\gamma_1 \alpha_2 + \gamma_2 \alpha_1) - (\varepsilon_1 \alpha_2 + \varepsilon_2 \alpha_1)(\gamma_1 \gamma_2 - \omega^2 \varepsilon_1 \varepsilon_2)]} = \\ &= \frac{\omega^2 (\varepsilon_2^2 \gamma_1 \alpha_1 + \varepsilon_1^2 \gamma_2 \alpha_2) + \gamma_1 \gamma_2 (\gamma_1 \alpha_2 + \gamma_2 \alpha_1)}{\omega [\varepsilon_2 \gamma_1^2 \alpha_2 + \varepsilon_1 \gamma_2^2 \alpha_1 + \omega^2 \varepsilon_1 \varepsilon_2 (\varepsilon_1 \alpha_2 + \varepsilon_2 \alpha_1)]}. \end{aligned} \quad (2)$$

Выражение (2) для $\operatorname{tg} \delta$ записано через удельные характеристики ε_1, γ_1 и ε_2, γ_2 слоев диэлектрика.

Рассмотрим зависимости тангенса угла диэлектрических потерь от параметров трехслойных и четырехслойных изоляционных конструкций, которые имеют широкое практическое применение.

Для трехслойной изоляционной конструкции точная зависимость для $\operatorname{tg} \delta$ было выведено в [8]

$$\begin{aligned}
\text{tg } \delta = & \frac{[(\gamma_1\gamma_2 - \omega^2\varepsilon_1\varepsilon_2) \cdot \gamma_3 - \omega^2(\varepsilon_2\gamma_1 + \varepsilon_1\gamma_2)\varepsilon_3]}{[(\gamma_1\gamma_2 - \omega^2\varepsilon_1\varepsilon_2) \cdot \gamma_3 - \omega^2(\varepsilon_2\gamma_1 + \varepsilon_1\gamma_2)\varepsilon_3]} \times \\
& \times \frac{[(\gamma_2\gamma_3 - \omega^2\varepsilon_2\varepsilon_3)\alpha_1 + (\gamma_1\gamma_3 - \omega^2\varepsilon_1\varepsilon_3)\alpha_2 + (\gamma_1\gamma_2 - \omega^2\varepsilon_1\varepsilon_2)\alpha_3] +}{\cdot (-\omega)[(\varepsilon_3\gamma_2 + \varepsilon_2\gamma_3)\alpha_1 + (\varepsilon_3\gamma_1 + \varepsilon_1\gamma_3)\alpha_2 + (\varepsilon_2\gamma_1 + \varepsilon_1\gamma_2)\alpha_3] +} \\
& \times \frac{\omega^2[\gamma_3(\varepsilon_2\gamma_1 + \varepsilon_1\gamma_2) + \varepsilon_3(\gamma_1\gamma_2 - \omega^2\varepsilon_1\varepsilon_2)]}{\omega[\gamma_3(\varepsilon_2\gamma_1 + \varepsilon_1\gamma_2) + \varepsilon_3(\gamma_1\gamma_2 - \omega^2\varepsilon_1\varepsilon_2)]} \times \\
& \times \frac{[(\varepsilon_3\gamma_2 + \varepsilon_2\gamma_3)\alpha_1 + (\varepsilon_3\gamma_1 + \varepsilon_1\gamma_3)\alpha_2 + (\varepsilon_2\gamma_1 + \varepsilon_1\gamma_2)\alpha_3]}{[(\gamma_2\gamma_1 - \omega^2\varepsilon_2\varepsilon_3)\alpha_1 + (\gamma_1\gamma_3 - \omega^2\varepsilon_1\varepsilon_3)\alpha_2 + (\gamma_1\gamma_2 - \omega^2\varepsilon_1\varepsilon_2)\alpha_3]}.
\end{aligned} \tag{3}$$

Это выражение в общем виде содержит все необходимые параметры трех изоляционных слоев, но из-за сложности его трудно анализировать.

Решение задачи. Чтобы проанализировать эту зависимость будем исходить из тех условий, что в проводящих экранах по жиле и изоляции (слой 1 и 3) токами смещения по сравнению с токами проводимости можно пренебречь также как можно пренебречь током проводимости по сравнению с током смещения в среднем изоляционном слое полиэтилена (слой 2). Тогда в соответствии с результатами, полученными в [8] имеем

$$\dot{Y} = \frac{\prod_{k=1}^n \dot{Y}_k}{\dot{\beta}}, \tag{4}$$

$$\text{где } \dot{\beta} = \prod_{m=1}^n \dot{Y}_m \sum_{k=1}^n \dot{Y}_k^{-1} \alpha_k, \quad \alpha_k = \frac{1}{2\pi} \ln \frac{r_k}{r_{k-1}}, \quad k = 1, 2, \dots, n, \quad m = 1, 2, \dots, n.$$

Для трехслойной изоляции

$$\begin{aligned}
\dot{\beta} = & \prod_{k=1}^3 \dot{Y}_k \sum_{k=1}^3 \dot{Y}_k^{-1} \alpha_k = \dot{Y}_1 \dot{Y}_2 \dot{Y}_3 \left(\frac{1}{\dot{Y}_1} \alpha_1 + \frac{1}{\dot{Y}_2} \alpha_2 + \frac{1}{\dot{Y}_3} \alpha_3 \right) = \\
= & \dot{Y}_2 \dot{Y}_3 \alpha_1 + \dot{Y}_1 \dot{Y}_3 \alpha_2 + \dot{Y}_1 \dot{Y}_2 \alpha_3.
\end{aligned} \tag{5}$$

$$\begin{aligned}
\prod_{k=1}^3 \dot{Y}_k \dot{\beta}^* = & \dot{Y}_1 \dot{Y}_2 \dot{Y}_3 \dot{\beta}^* = \{[(\gamma_1\gamma_2 - \omega^2\varepsilon_1\varepsilon_2)\gamma_3 - \omega^2(\varepsilon_1\gamma_2 + \varepsilon_2\gamma_1) \cdot \varepsilon_3] + \\
& i\omega[\gamma_3(\varepsilon_2\gamma_1 + \varepsilon_1\gamma_2) + \varepsilon_3(\gamma_1\gamma_2 - \omega^2\varepsilon_1\varepsilon_2)]\} \cdot \\
& \cdot \{[(\gamma_2\gamma_3 - \omega^2\varepsilon_2\varepsilon_3)\alpha_1 + (\gamma_1\gamma_3 - \omega^2\varepsilon_1\varepsilon_3)\alpha_2 + (\gamma_1\gamma_2 - \omega^2\varepsilon_1\varepsilon_2)\alpha_3] - \\
& - i\omega[(\varepsilon_3\gamma_2 + \varepsilon_2\gamma_3)\alpha_1 + (\varepsilon_3\gamma_1 + \varepsilon_1\gamma_3)\alpha_2 + (\varepsilon_2\gamma_1 + \varepsilon_1\gamma_2)\alpha_3]\} \cdot \\
& R_e \{\dot{Y}_1 \dot{Y}_2 \dot{Y}_3 \dot{\beta}^*\} = [(\gamma_1\gamma_2 - \omega^2\varepsilon_1\varepsilon_2) \cdot \gamma_3 - \omega^2(\varepsilon_2\gamma_1 + \varepsilon_1\gamma_2)\varepsilon_3] \cdot \\
& \cdot [(\gamma_2\gamma_3 - \omega^2\varepsilon_2\varepsilon_3)\alpha_1 + (\gamma_1\gamma_3 - \omega^2\varepsilon_1\varepsilon_3)\alpha_2 + (\gamma_1\gamma_2 - \omega^2\varepsilon_1\varepsilon_2)\alpha_3] + \\
& + \omega^2[\gamma_3(\varepsilon_2\gamma_1 + \varepsilon_1\gamma_2) + \varepsilon_3(\gamma_1\gamma_2 - \omega^2\varepsilon_1\varepsilon_2)] \cdot \\
& \cdot [(\varepsilon_3\gamma_2 + \varepsilon_2\gamma_3)\alpha_1 + (\varepsilon_3\gamma_1 + \varepsilon_1\gamma_3)\alpha_2 + (\varepsilon_2\gamma_1 + \varepsilon_1\gamma_2)\alpha_3];
\end{aligned} \tag{6}$$

$$\begin{aligned}
I_m \{ \dot{Y}_1 \dot{Y}_2 \dot{Y}_3 \dot{\beta}^* \} = & [(\gamma_1 \gamma_2 - \omega^2 \varepsilon_1 \varepsilon_2) \cdot \gamma_3 - \omega^2 (\varepsilon_2 \gamma_1 + \varepsilon_1 \gamma_2) \varepsilon_3] \cdot \\
& \cdot (-\omega) [(\varepsilon_3 \gamma_2 + \varepsilon_2 \gamma_3) \alpha_1 + (\varepsilon_3 \gamma_1 + \varepsilon_1 \gamma_3) \alpha_2 + (\varepsilon_2 \gamma_1 + \varepsilon_1 \gamma_2) \alpha_3] + \\
& + \omega [\gamma_3 (\varepsilon_2 \gamma_1 + \varepsilon_1 \gamma_2) + \varepsilon_3 (\gamma_1 \gamma_2 - \omega^2 \varepsilon_1 \varepsilon_2)] \cdot \\
& \cdot [(\gamma_2 \gamma_3 - \omega^2 \varepsilon_2 \varepsilon_3) \alpha_1 + (\gamma_1 \gamma_3 - \omega^2 \varepsilon_1 \varepsilon_3) \alpha_2 + (\gamma_1 \gamma_2 - \omega^2 \varepsilon_1 \varepsilon_2) \alpha_3].
\end{aligned} \tag{7}$$

Принимая во внимание (4) при принятых допущениях имеем следующие условия

$$\dot{Y}_1 = \gamma_1; \tag{8}$$

$$\dot{Y}_2 = i\omega \varepsilon_2; \tag{9}$$

$$\dot{Y}_3 = \gamma_3. \tag{10}$$

Тогда, в соответствии с (4), (5), (6), (7), (3) получаем

$$\dot{Y} = \frac{\dot{Y}_1 \dot{Y}_2 \dot{Y}_3}{\dot{\beta}} = \frac{\gamma_1 i \omega \varepsilon_2 \gamma_3}{\dot{\beta}}; \tag{11}$$

$$\begin{aligned}
\dot{\beta}^* = & (\dot{Y}_2 \dot{Y}_3 \alpha_1 + \dot{Y}_1 \dot{Y}_3 \alpha_2 + \dot{Y}_1 \dot{Y}_2 \alpha_3)^* = (i\omega \varepsilon_2 \gamma_3 \alpha_1 + \gamma_1 \gamma_3 \alpha_2 + \gamma_1 i\omega \varepsilon_2 \alpha_3)^* = \\
& [\gamma_1 \gamma_3 \alpha_2 - i\omega \varepsilon_2 (\alpha_1 \gamma_3 + \alpha_3 \gamma_1)];
\end{aligned} \tag{12}$$

$$\begin{aligned}
\dot{Y}_1 \dot{Y}_2 \dot{Y}_3 \dot{\beta}^* = & i\omega \varepsilon_2 \gamma_1 \gamma_3 [\gamma_1 \gamma_3 \alpha_2 - i\omega \varepsilon_2 (\alpha_1 \gamma_3 + \alpha_3 \gamma_1)] = \\
= & \omega^2 \gamma_1 \gamma_3 (\alpha_1 \gamma_3 + \alpha_3 \gamma_1) + i\omega \varepsilon_2 \gamma_1^2 \gamma_3^2 \alpha_2;
\end{aligned} \tag{13}$$

$$R_e \{ \dot{Y}_1 \dot{Y}_2 \dot{Y}_3 \dot{\beta}^* \} = \omega^2 \varepsilon_2^2 \gamma_1 \gamma_3 (\alpha_1 \gamma_3 + \alpha_3 \gamma_1); \tag{14}$$

$$I_m \{ \dot{Y}_1 \dot{Y}_2 \dot{Y}_3 \dot{\beta}^* \} = \omega \varepsilon_2 \gamma_1^2 \gamma_3^2 \alpha_2; \tag{15}$$

$$\operatorname{tg} \delta \approx \frac{\omega^2 \varepsilon_2^2 \gamma_1 \gamma_3 (\alpha_1 \gamma_3 + \alpha_3 \gamma_1)}{\omega \varepsilon_2 \gamma_1^2 \gamma_3^2 \alpha_2} \approx \omega \frac{\varepsilon_2 (\alpha_1 \gamma_3 + \alpha_3 \gamma_1)}{\gamma_1^2 \gamma_3^2 \alpha_2}. \tag{16}$$

Выражение (3) после формальной подстановки в него $\varepsilon_1 = 0$, $\varepsilon_3 = 0$, $\gamma_2 = 0$ должно совпадать с выражением (16), в чем можно убедиться, выполнив такую подстановку

$$\operatorname{tg} \delta \approx \frac{\omega^2 [\gamma_3 \varepsilon_2 \gamma_1] [\varepsilon_2 (\gamma_3 \alpha_1 + \gamma_1 \alpha_3)]}{\omega [\gamma_3 \varepsilon_2 \gamma_1] [\gamma_1 \gamma_3 \alpha_2]} \approx \omega \frac{\varepsilon_2 (\gamma_3 \alpha_1 + \gamma_1 \alpha_3)}{\gamma_1 \gamma_3 \alpha_2}. \tag{17}$$

Последнее подтверждает правильность полученного приближенного выражения (16) для $\operatorname{tg} \delta$ трехслойной изоляционной конструкции при условиях (8)...(10), когда γ_1 и γ_2 соответственно в слоях 1 и 3 не равны друг другу. Если эти проводимости равны между собой, то есть когда выполняются условия

$$\dot{Y}_1 = \dot{Y}_3 = \gamma_1 = \gamma_3 = \gamma. \tag{18}$$

$$\dot{Y}_2 = i\omega \varepsilon_2 = i\omega \varepsilon. \tag{19}$$

то выражение (17) можно упростить и представить в виде

$$\operatorname{tg} \delta \approx \omega \frac{\varepsilon \gamma (\alpha_1 + \alpha_3)}{\gamma_2 \alpha_2} = f_1 f_2. \quad (20)$$

Таким образом, выражение для тангенса угла диэлектрических потерь в трехслойной изоляционной конструкции при выполнении условий (18), (19) можно представить в виде произведения двух функций, в котором первая функция f_1 зависит только от параметров, характеризующих материал диэлектрика в слоях

$$f_1 = \omega \varepsilon / \gamma, \quad (21)$$

а вторая функция f_2 зависит только от геометрических параметров этих слоев.

$$f_2 = (\alpha_1 + \alpha_3) / \alpha_2 = \left(\ln \frac{r_1}{r_0} + \ln \frac{r_3}{r_2} \right) / \ln \frac{r_2}{r_1}, \quad (22)$$

то есть является чисто геометрическим фактором для трехслойной изоляционной конструкции.

Исследуем зависимость тангенса угла диэлектрических потерь от конструкции изоляции и рассмотрим такие основные случаи.

Случай 1. Пусть r_1 стремится к r_0 и r_2 к r_3 , что равнозначно бесконечному уменьшению толщины первого и третьего слоев, которые согласно (18) характеризуются только проводимостью γ . Одновременно при $r_1 \rightarrow r_0$ и $r_2 \rightarrow r_3$ толщина слоя 2, который согласно (19) характеризуется только реактивной проводимостью $i\omega\varepsilon$, будет неограниченно приближаться к толщине $r_3 - r_0$ слоя всего диэлектрика, а сама трехслойная изоляция превращается из трехслойной в однослойную. Тогда при сколь угодно близких значениях r_1 , r_0 и r_2 , r_3 функция f_1 будет ограниченной, отношения r_1/r_0 и r_2/r_3 будут стремиться к единице, натуральные логарифмы этих отношений – к нулю, а при фиксированных значениях r_0 и r_3 знаменатель (22), равный $\ln r_2/r_1$ при $r_2 \rightarrow r_3$, $r_1 \rightarrow r_0$ стремится к значению $\ln r_0/r_3$ и остается величиной ограниченной. Тогда при неизменной угловой частоте ω имеем

$$\lim_{\substack{r_1 \rightarrow r_0 \\ r_2 \rightarrow r_3}} \operatorname{tg} \delta = \lim_{\substack{r_1 \rightarrow r_0 \\ r_2 \rightarrow r_3}} f_1 f_2 = f_1 \lim_{\substack{r_1 \rightarrow r_0 \\ r_2 \rightarrow r_3}} \frac{\ln \frac{r_1}{r_0} + \ln \frac{r_3}{r_2}}{\ln \frac{r_2}{r_1}} = 0. \quad (23)$$

Последнее выражение показывает, что при неограниченном уменьшении толщин слоев 1 и 3 и увеличении при этом толщины слоя 2 до значения $r_3 - r_0$ тангенс угла диэлектрических потерь стремится к нулю. Этот вывод физически прозрачен, так как изоляция из трехслойной с двумя диссипативными слоями превращается в однослойную без активных потерь.

Случай 2. В трехслойной изоляции толщина слоя 2, в котором отсутствует активная проводимость, стремится к нулю, а изоляция превращается из

трехслойной в двухслойную, причем оба слоя 1 и 3 характеризуются только активной проводимостью. Тогда при ограниченной функции f_1 имеем из (17) при конечном $\omega\varepsilon_2$

$$\lim_{r_1 \rightarrow r_2} \operatorname{tg} \delta = \omega\varepsilon_2 \lim_{r_1 \rightarrow r_2} \frac{\gamma_3 \ln \frac{r_1}{r_0} + \gamma_1 \ln \frac{r_3}{r_2}}{\gamma_1 \gamma_3 \ln \frac{r_2}{r_1}} = \infty. \quad (24)$$

поскольку при конечных $\gamma_1 \gamma_3$ и $r_0 r_3$ числитель выражения (24) остается ограниченным, а его знаменатель – стремится к нулю.

Случай 3. В трехслойной изоляции толщина одного из слоев (1 или 3), который характеризуется только активной проводимостью, неограниченно уменьшается. При этом изоляция в пределе превращается в двухслойную.

Если, например, неограниченно уменьшать толщину $r_1 - r_0$ первого слоя, то из (17) получаем при конечных $\gamma_3 = \gamma$ и $\varepsilon_2 = \varepsilon$

$$\lim_{r_1 \rightarrow r_0} \operatorname{tg} \delta = \omega\varepsilon_2 \lim_{r_1 \rightarrow r_0} \frac{\gamma_3 \ln \frac{r_1}{r_0} + \gamma_1 \ln \frac{r_3}{r_2}}{\gamma_1 \gamma_3 \ln \frac{r_2}{r_1}} = \frac{\omega\varepsilon}{\gamma} \frac{\ln \frac{r_3}{r_2}}{\ln \frac{r_2}{r_1}}. \quad (25)$$

При уменьшении до нуля толщины $r_3 - r_2$ третьего слоя в трехслойной конструкции в пределе при $r_2 \rightarrow r_3$, $\gamma_1 = \gamma$ и $\varepsilon_2 = \varepsilon$ получим, как можно видеть, тот же результат, который дает формула (25), то есть

$$\lim_{r_2 \rightarrow r_3} \operatorname{tg} \delta = \omega\varepsilon_2 \lim_{r_2 \rightarrow r_3} \frac{\gamma_3 \ln \frac{r_1}{r_0} + \gamma_1 \ln \frac{r_3}{r_2}}{\gamma_1 \gamma_2 \ln \frac{r_2}{r_1}} = \frac{\omega\varepsilon}{\gamma} \frac{\ln \frac{r_1}{r_0}}{\ln \frac{r_2}{r_1}}. \quad (26)$$

К этому же результату приводит и формула (2) при $r_2 \rightarrow r_3$, то есть при условиях

$$\begin{aligned} \dot{Y}_2 &= i\omega\varepsilon_2 = i\omega\varepsilon; & \gamma_2 &= 0; \\ \dot{Y}_1 &= \gamma_1 = \gamma; & \varepsilon_1 &= 0. \end{aligned} \quad (27)$$

что дает после их подстановки в (2)

$$\lim_{r_2 \rightarrow r_3} \operatorname{tg} \delta = \frac{\omega^2 \varepsilon_2 \gamma_1 \alpha_1}{\omega[\varepsilon_2 \gamma_1 \alpha_2]} = \frac{\omega\varepsilon}{\gamma} \frac{\ln \frac{r_1}{r_0}}{\ln \frac{r_2}{r_1}}. \quad (28)$$

Выражения (26), (28) показывают, что и для двухслойной конструкции, в случае, когда один из слоев имеет только активную проводимость, а другой – чисто реактивную, тангенс угла диэлектрических потерь можно представить также подобно (20) в виде произведения двух функций, одна из которых

f_1 зависит только от свойств материалов, а другая f'_2 – является чисто геометрическим фактором, то есть

$$\operatorname{tg} \delta = f_1 f'_2 = \frac{\omega \varepsilon}{\gamma} \frac{\ln \frac{r_1}{r_0}}{\ln \frac{r_2}{r_1}}, \quad (29)$$

а f_1 и f'_2 , соответственно, равны

$$f_1 = \omega \varepsilon / \gamma; \quad f'_2 = \frac{\ln \frac{r_1}{r_0}}{\ln \frac{r_2}{r_1}}. \quad (30)$$

Таким образом, как для трехслойной изоляционной конструкции с двумя диссипативными слоями с одинаковыми проводимостями, так и для двухслойной конструкции с одним диссипативным слоем функции f_1 , зависящие от свойств материалов слоев, одинаковы. Функции f_2 и f'_2 , зависящие от геометрических параметров, различны для этих двух изоляционных конструкций.

Наконец рассмотрим четырехслойную изоляционную конструкцию. Возьмем вначале случай, характерный для силовых кабелей, в которых на трехслойную пластмассовую изоляцию и проводящий экран по жиле – собственно изоляция – проводящий экран по изоляции дополнительно наложен слой из полупроводящего полотна так, что при толщинах слоев $r_1 - r_0$; $r_2 - r_1$, их проводимости соответственно равны

$$\dot{Y}_1 = \gamma_1; \quad \dot{Y}_2 = i\omega \varepsilon_2; \quad \dot{Y}_3 = \gamma_3; \quad \dot{Y}_4 = \gamma_4. \quad (31)$$

Последовательно вычисляя по (4), (5), (6), (7) получаем

$$\dot{Y} = \frac{\prod_{k=1}^4 \dot{Y}_k}{\dot{\beta}} = \frac{\dot{Y}_1 \dot{Y}_2 \dot{Y}_3 \dot{Y}_4}{\dot{\beta}}; \quad (32)$$

$$\begin{aligned} \dot{\beta} &= \prod_{m=1}^4 \dot{Y}_m \sum_{k=1}^4 \dot{Y}_k^{-1} \alpha_k = \dot{Y}_1 \dot{Y}_2 \dot{Y}_3 \dot{Y}_4 \left(\frac{1}{\dot{Y}_1} \alpha_1 + \frac{1}{\dot{Y}_2} \alpha_2 + \frac{1}{\dot{Y}_3} \alpha_3 + \frac{1}{\dot{Y}_4} \alpha_4 \right) = \\ &= (\dot{Y}_2 \dot{Y}_3 \dot{Y}_4 \alpha_1 + \dot{Y}_1 \dot{Y}_3 \dot{Y}_4 \alpha_2 + \dot{Y}_1 \dot{Y}_2 \dot{Y}_4 \alpha_3 + \dot{Y}_1 \dot{Y}_2 \dot{Y}_3 \alpha_4) = \\ &= (i\omega \varepsilon_2 \gamma_3 \gamma_4 \alpha_1 + \gamma_1 \gamma_3 \gamma_4 \alpha_2 + \gamma_1 i\omega \varepsilon_2 \gamma_4 \alpha_3 + \gamma_1 i\omega \varepsilon_2 \gamma_3 \alpha_4); \end{aligned} \quad (33)$$

$$\beta^* = [\gamma_1 \gamma_3 \gamma_4 \alpha_2 - i\omega \varepsilon_2 (\gamma_3 \gamma_4 \alpha_1 + \gamma_1 \gamma_4 \alpha_3 + \gamma_1 \gamma_3 \alpha_4)]; \quad (34)$$

$$\begin{aligned} \prod_{k=1}^4 \dot{Y}_k \beta^* &= \gamma_1 i\omega \varepsilon_2 \gamma_3 \gamma_4 [\gamma_1 \gamma_3 \gamma_4 \alpha_2 - i\omega \varepsilon_2 (\gamma_3 \gamma_4 \alpha_1 + \gamma_1 \gamma_4 \alpha_3 + \gamma_1 \gamma_3 \alpha_4)] = \\ &= [\omega^2 \varepsilon_2 \gamma_1 \gamma_3 \gamma_4 (\gamma_3 \gamma_4 \alpha_1 + \gamma_1 \gamma_4 \alpha_3 + \gamma_1 \gamma_3 \alpha_4) + i\omega \varepsilon_2 \gamma_1^2 \gamma_2 \gamma_3 \gamma_4^2 \alpha_2]; \end{aligned} \quad (35)$$

$$R_e \{ \dot{Y}_1 \dot{Y}_2 \dot{Y}_3 \dot{Y}_4 \beta^* \} = \omega^2 \varepsilon_2 \gamma_1 \gamma_3 \gamma_4 (\gamma_3 \gamma_4 \alpha_1 + \gamma_1 \gamma_4 \alpha_3 + \gamma_1 \gamma_3 \alpha_4). \quad (36)$$

После чего получаем выражение для тангенса угла диэлектрических потерь с учетом (36)

$$I_m \{ \dot{Y}_1 \dot{Y}_2 \dot{Y}_3 \dot{Y}_4 \dot{\beta}^* \} = \omega \varepsilon_2 \gamma_1^2 \gamma_3^2 \gamma_4^2 \alpha_2, \quad (37)$$

которое, как видно, при бесконечно тонком слое 4, то есть при $\alpha_4 = \ln r_4/r_3$ после сокращений переходит в выражение

$$\operatorname{tg} \delta = \frac{R_e \left\{ \prod_{k=1}^n \dot{Y}_k \dot{\beta}^* \right\}}{I_m \left\{ \prod_{k=1}^4 \dot{Y}_k \dot{\beta}^* \right\}} = \frac{\omega \varepsilon_2 (\gamma_3 \gamma_4 \alpha_1 + \gamma_1 \gamma_4 \alpha_3 + \gamma_1 \gamma_3 \alpha_4)}{\gamma_1^2 \gamma_3^2 \gamma_4^2 \alpha_2} = \omega \varepsilon_2 \frac{\gamma_3 \alpha_1 + \gamma_1 \alpha_3}{\gamma_1 \gamma_3 \alpha_2}. \quad (38)$$

полностью совпадающее с выражением (17) для тангенса угла диэлектрических потерь трехслойной конструкции, что подтверждает правильность формулы (37). Если все проводимости $\gamma_1, \gamma_2, \gamma_3, \gamma_4$ равны между собой и равны γ , то при $\varepsilon_2 = \varepsilon$ получаем из (37).

$$\operatorname{tg} \delta = \frac{\omega \varepsilon}{\gamma} \frac{\alpha_1 + \alpha_3 + \alpha_4}{\alpha_2} = f_1 f_2'', \quad (39)$$

то есть тангенс угла диэлектрических потерь в четырехслойной изоляции можно также представить в виде произведения двух функций f_1 и f_2'' , из которых первая зависит от свойств материалов $f_1 = \omega \varepsilon / \gamma$, а вторая является геометрическим фактором и равна

$$f_2'' = \frac{\ln \frac{r_1}{r_0} + \ln \frac{r_3}{r_2} + \ln \frac{r_4}{r_3}}{\ln \frac{r_2}{r_1}}. \quad (40)$$

Проводя те же рассуждения для случая, когда параметры имеют значение

$$\dot{Y}_1 = \gamma_1; \quad \dot{Y}_2 = i\omega \varepsilon_2; \quad \dot{Y}_3 = \gamma_3; \quad \dot{Y}_4 = i\omega \varepsilon_4,$$

характерное для самонесущих защищенных изолированных проводов, по аналогии с предыдущим, получаем

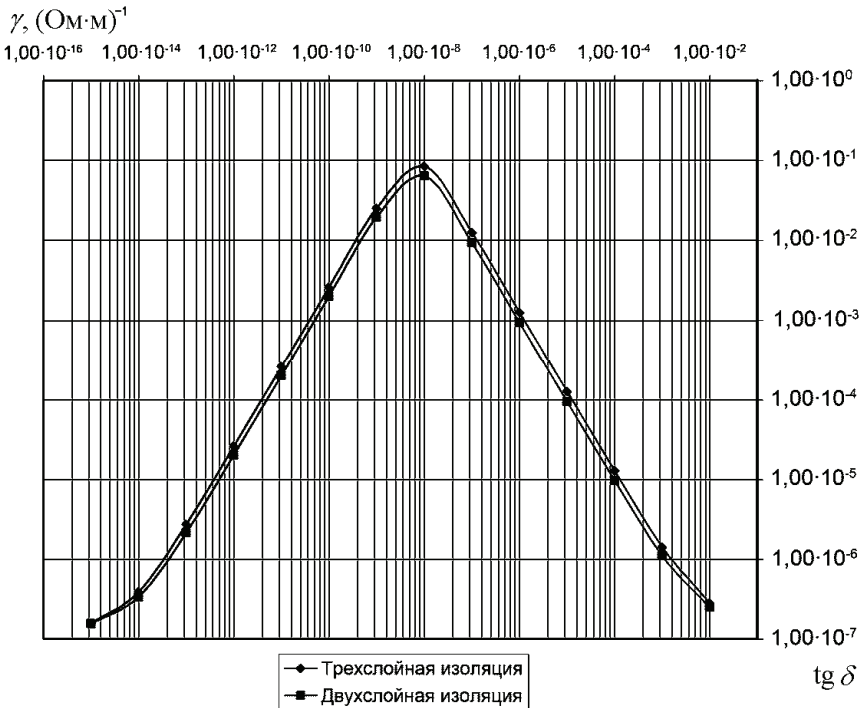
$$\dot{\beta} = (i\omega \varepsilon_2 \gamma_3 i\omega \varepsilon_4 \alpha_1 + \gamma_1 \gamma_3 i\omega \varepsilon_4 \alpha_2 + \gamma_1 i\omega \varepsilon_2 \gamma_3 i\omega \varepsilon_4 + \gamma_1 i\omega \varepsilon_2 \gamma_3 \alpha_4) = \\ [-\omega^2 \varepsilon_2 \varepsilon_4 (\gamma_3 \alpha_1 + \gamma_1 \alpha_3) - i\omega \gamma_1 \gamma_3 (\varepsilon_4 \alpha_2 + \varepsilon_2 \alpha_4) + i\omega (\varepsilon_4 \gamma_1 \gamma_3 \alpha_2 + \varepsilon_2 \gamma_1 \gamma_3 \alpha_4)]; \quad (42)$$

$$\dot{\beta}^* = [-\omega^2 \varepsilon_2 \varepsilon_4 (\gamma_3 \alpha_1 + \gamma_1 \alpha_3) - i\omega \gamma_1 \gamma_3 (\varepsilon_4 \alpha_2 + \varepsilon_2 \alpha_4)]; \quad (43)$$

$$\prod_{k=1}^4 \dot{Y}_k \dot{\beta}^* = \gamma_1 i\omega \varepsilon_2 \gamma_3 i\omega \varepsilon_4 \cdot \dot{\beta}^* = -\omega^2 \varepsilon_2 \varepsilon_4 \gamma_1 \gamma_3 \dot{\beta}^* = \\ = \omega^2 \varepsilon_2 \varepsilon_4 \gamma_1 \gamma_3 [\omega^2 \varepsilon_2 \varepsilon_4 (\gamma_3 \alpha_1 + \gamma_1 \alpha_3) + i\omega \gamma_1 \gamma_3 (\varepsilon_4 \alpha_2 + \varepsilon_2 \alpha_4)] = \\ = \omega^4 (\varepsilon_2 \varepsilon_4)^2 \gamma_1 \gamma_3 (\gamma_3 \alpha_1 + \gamma_1 \alpha_3) + i\omega^3 (\gamma_1 \gamma_3)^2 \varepsilon_2 \varepsilon_4 (\varepsilon_4 \alpha_2 + \varepsilon_2 \alpha_4); \quad (44)$$

$$\operatorname{tg} \delta = \frac{\omega^4 (\varepsilon_2 \varepsilon_4)^2 \gamma_1 \gamma_3 (\gamma_3 \alpha_1 + \gamma_1 \alpha_3)}{\omega^3 (\gamma_1 \gamma_3)^2 \varepsilon_2 \varepsilon_4 (\varepsilon_4 \alpha_2 + \varepsilon_2 \alpha_4)} = \frac{\omega \varepsilon_2 \varepsilon_4 (\gamma_3 \alpha_1 + \gamma_1 \alpha_3)}{\gamma_1 \gamma_3 (\varepsilon_4 \alpha_2 + \varepsilon_2 \alpha_4)}. \quad (45)$$

Здесь под r_4 при приближенном вычислении $\alpha_4 = \ln r_4/r_3$ следует понимать очевидно расстояние от центра провода до ближайшего заземленного объекта, а значение диэлектрической проницаемости воздуха ε_4 следует принять равной диэлектрической постоянной ε_0 вакуума. В заключение заметим, что последнее выражение нельзя представить в виде произведения двух функций. Это обусловлено тем, что даже при равенстве проводимостей $\gamma_1 = \gamma_3$, равенство диэлектрических проницаемостей $\varepsilon_2 = \varepsilon_4$ не может быть достигнуто ни при каких условиях, так как ε_4 остается всегда строго меньше ε_2 .



Зависимость тангенса угла диэлектрических потерь от проводимости экранов по жиле γ_1 и по изоляции γ_3 в трехслойной конструкции (—◆—), а также проводимости экрана по жиле в двухслойной конструкции (—■—) сердечника кабеля (радиус по жиле $r_0 = 13$ мм, толщина экрана по жиле и по изоляции 2 мм, радиус экрана по жиле 15 мм, радиус по изоляции — 39,5 мм, $\gamma_1 = \gamma_3$, $\gamma_2 = 10^{-15} (\text{Ом}\cdot\text{м})^{-1}$; $\varepsilon_1 = \varepsilon_2 = \varepsilon_3 = 2,3 \cdot \varepsilon_0$

В заключение рассмотрим вопрос о влиянии проводимости экранов по жиле и по изоляции на величину тангенса угла диэлектрических потерь в кабелях высокого и сверхвысокого напряжения. В их конструкции на экран по изоляции может накладываться водонабухающее полотно. Однако его тол-

щиной, по сравнению с толщиной экрана по изоляции можно пренебречь и считать конструкцию трехслойной.

Как показывает анализ, при неизменных параметрах собственно изоляционного слоя $\varepsilon_2 = 2,3 \cdot \varepsilon_0$; $\gamma_2 = 10^{-15}$, тангенс угла диэлектрических потерь согласно (3) имеет максимум (см. рисунок). Такой же максимум для $\operatorname{tg}\delta$ наблюдается и в двухслойной конструкции «полупроводящий экран по жиле – изоляция», как это следует из (2).

Наличие максимума на кривой $\operatorname{tg}\delta$ можно объяснить следующим образом. Если γ_1 и γ_3 неограниченно уменьшать, то свойства полупроводящих экранов будут стремиться к свойствам высококачественного полиэтилена с низким значением $\operatorname{tg}\delta$. При неограниченном увеличении γ_1 и γ_2 , свойства полупроводящих экранов будут стремиться к свойствам хорошего проводника, то есть к свойствам материала токопроводящей жилы и проводящего металлического экрана, между которыми будет находиться слой высококачественного полиэтилена с низким значением $\operatorname{tg}\delta$. Так как значение $\operatorname{tg}\delta$ не зависит от объема диэлектрика, то при средних значениях проводимости полупроводящих экранов γ_1 и γ_3 будет наблюдаться максимум тангенса угла диэлектрических потерь для трехслойной конструкции с двумя проводящими экранами. Эти же рассуждения будут справедливыми и для случая конструкции с одним полупроводящим экраном.

Выводы. При выборе проводимости пластмассовых экранов по жиле и по изоляции в кабелях с изоляцией из сшитого полиэтилена на напряжение 6...330 кВ необходимо учитывать следующее.

1. Сглаживание электрического поля на микровыступах полиэтиленовой изоляции и токопроводящих экранов по жиле и изоляции происходит если толщина экранов составляет не менее 1 мм, а их проводимость γ_1, γ_3 , не опускается ниже $10^{-6} (\text{Ом}\cdot\text{м})^{-1}$ при 20° С [9].

2. При достижении длительно допустимых токов в режиме перегрузки температура кабеля может достигать 130° С. При этом проводимость экранов может измениться на три порядка от 10^{-3} до $10^{-6} (\text{Ом}\cdot\text{м})^{-1}$ [9]. Таким образом для того, чтобы полупроводящие экраны не потеряли своего главного назначения по выравниванию электрического поля на выступах, следует выбирать их электропроводность γ_1, γ_3 не менее $10^{-3} (\text{Ом}\cdot\text{м})^{-1}$, что соответствует объемному удельному сопротивлению 1000 Ом·м.

3. Из рисунка можно видеть, что при значении проводимости экранов $\gamma = 10^{-3} (\text{Ом}\cdot\text{м})^{-1}$ значение тангенса угла диэлектрических потерь $\operatorname{tg}\delta$ составляет соответственно $1,43 \cdot 10^{-6}$ в трехслойной конструкции с двумя экранами и $1,1 \cdot 10^{-6}$ в двухслойной конструкции кабеля одним экраном по жиле. В то же время известно, например, что для трансформаторного масла с удельной электропроводностью $\gamma = 10^{-12} (\text{Ом}\cdot\text{м})^{-1}$ и $\varepsilon = 2,2$, тангенс угла диэлектрических потерь на частоте 10^6 Гц из формулы $\gamma/\omega\varepsilon$, то есть с учетом только тока проводимости, получается равным примерно 10^{-6} , тогда как непосредствен-

ные измерения дают значение $\operatorname{tg}\delta \approx 10^{-3}$ [10]. Это обстоятельство как раз и обусловлено неучетом токов поляризации, адсорбции и потерь ионизации. Теоретический учет этих факторов выходит далеко за рамки настоящей работы. Более того, такая задача не решена в физике диэлектриков и до настоящего времени. Попытки теоретически учесть свойства неоднородных диэлектриков, в частности, были предприняты в [9]. Суть метода состоит в том, что диэлектрик представляется как некоторый композит со стохастической структурой. В нем выделялась элементарная ячейка, содержащая характерную неоднородность (водный трининг). В объеме ячейки решалась полевая задача и определялись эффективные характеристики ячейки, в частности, комплексная диэлектрическая проницаемость $\varepsilon = \varepsilon' - i\varepsilon''$. Далее полагалось, что значение этой проницаемости приближенно равно проницаемости диэлектрика в целом. Так, при нормальных условиях, на частоте около 50 Гц были получены значения $\varepsilon' \approx 2,3$ и $\varepsilon'' \approx 2,3 \cdot 10^{-3}$, что дает значение тангенса угла диэлектрических потерь $\operatorname{tg}\delta \approx \varepsilon''/\varepsilon' \approx 10^{-3}$. Это значение по порядку совпадает с допустимым значением $\operatorname{tg}\delta$ для кабелей СВН $0,3 \cdot 10^{-3}$ и 10^{-3} при температуре 20°C и 90°C соответственно. Отсюда можно сделать вывод, что для нормальной работы кабелей СВН, для которых $\operatorname{tg}\delta$ нормируется и не должен превышать значения 10^{-3} следует выбирать значение проводимости проводящих пластмассовых экранов не менее $10^{-3} (\text{Ом}\cdot\text{м})^{-1}$. При этом полученное теоретическое значение $\operatorname{tg}\delta \sim 10^{-6}$, исходя из решения полевой задачи в диэлектрике с учетом только токов проводимости служит нижней его оценкой при выборе необходимой удельной проводимости материала проводящих пластмассовых экранов $\gamma \geq 10^{-3} (\text{Ом}\cdot\text{м})^{-1}$. Фактическое значение тангенса угла диэлектрических потерь в изоляции кабеля можно определить только практически путем его измерения с применением, например, мостового метода

Список литературы: 1. Патент на винахід № 83826, Україна. Здатна до зшивання композиція. МПК С08L 83/04/ *Василець Л.Г., Золотарьов В.М., Карпушенко В.П., Ганьшина Л.В., Антоненц Ю.П., Золотарьов В.В.* – Заявник і патентовласник ЗАТ завод «Південкабель», заявлено 01.11.05, опубліковано 26.08.08., бюл. № 16. 2. Патент на винахід № 84012, Україна. Здатна до зшивання композиція. МПК С08L 23/00 - / *Василець Л.Г., Золотарьов В.М., Карпушенко В.П., Ганьшина Л.В., Антоненц Ю.П., Золотарьов В.В.* – Заявник і патентовласник ЗАТ завод «Південкабель», заявлено 01.11.05, опубліковано 10.09.08., бюл. № 17. 3. Патент на винахід № 85910, Україна. Кабель контрольний. МПК Н01 В 7/00 - / *Золотарьов В.М., Карпушенко В.П., Антоненц Ю.П., Василець Л.Г., Золотарьов В.В.* – Заявник і патентовласник ЗАТ завод «Південкабель», заявлено 23.05.07, опубліковано 25.11.08., бюл. № 22. 4. Патент на винахід № 83912, Україна. Кабель силовий вогнестійкий. МПК Н01 В 9/00 - / *Золотарьов В.М., Карпушенко В.П., Антоненц Ю.П., Василець Л.Г., Золотарьов В.В.* – Заявник і патентовласник ЗАТ завод «Південкабель», заявлено 23.05.07, опубліковано 25.11.08., бюл. № 22. 5. Патент на корисну модель № 39644, Україна. Потужний високовольтний кабель. МПК Н01 В 7/02-/ *Золотарьов В.М., Карпушенко В.П., Антоненц Ю.П., Золотарьов В.В., Чопов С.Ю., Обозний А.Л., Науменко О.А., Чайка В.Д.* – Заявник і патентовласник ЗАТ завод «Південкабель», заявлено 01.08.08, опубліковано 10.03.09., бюл. № 5. 6. Патент на корисну модель № 39645, Україна. Високовольтний кабель з волоконно-оптичним термодатчиком. МПК Н01 В 7/02-/ *Золотарьов В.М., Карпушенко В.П., Антоненц Ю.П., Золотарьов В.В., Чопов С.Ю., Обозний А.Л., Науменко О.А., Чайка В.Д.* – Заявник і патентовласник ЗАТ завод «Південкабель», заявлено 01.08.08, опубліковано 10.03.09., бюл. № 5. 7. Патент на корисну

модель № 38514, Україна. Струмopрoвіднa жила. МПК Н02 Н 7/04-/ *Золотарьов В.М., Карпушенко В.П., Антонець Ю.П., Золотарьов В.В., Чопов Є.Ю., Обозний А.Л., Науменко О.А., Чайка В.Д.* – Заявник і патентовласник ЗАТ завод «Південкабель», заявлено 01.08.08, опубліковано 12.01.09., бюл. № 1. **8.** *Золотарев В.М., Карпушенко В.П., Золотарев В.В., Антонец Ю.А., Науменко А.А.* Тангенс угла диэлектрических потерь многослойных сшитых изоляционных конструкций // Вестник НТУ «ХПИ». – Х.: НТУ «ХПИ». – 2011.– № 49.– С. 64-73. **9.** *Шидловский А.К., Щерба А.А.* Научно-техническое обеспечение анализа надежности и экологичности высоковольтных кабелей на напряжение до 110 кВ. Институт электродинамики НАН Украины. – Отчет о НИР. Г.р. № 0106U010708. – 2006. – 242 с. **10.** *Сиротинский Л.И.* и др. Техника высоких напряжений. – М-Л.: Госэнергоиздат. – 1940. – 247 с.

Поступила в редколлегию 02.03.2012.